К. т. н. П. М. Бажин^{1,2}(区), д. ф.-м. н. А. М. Столин^{1,2}, А. П. Чижиков^{1,2}, д. т. н. М. И. Алымов¹, к. т. н. Д. В. Кузнецов²

- ¹ ФГБУН «Институт структурной макрокинетики и проблем материаловедения РАН», Черноголовка, Россия
- ² Национальный исследовательский технологический университет «МИСиС». Москва. Россия

УДК 666.798.2.004.12

СТРУКТУРА, СВОЙСТВА И ПРИМЕНЕНИЕ ЗАЩИТНЫХ МЕТАЛЛОКЕРАМИЧЕСКИХ ПОКРЫТИЙ, ПОЛУЧЕННЫХ ЭЛЕКТРОИСКРОВЫМ ЛЕГИРОВАНИЕМ И ЭЛЕКТРОДУГОВОЙ НАПЛАВКОЙ

Представлены результаты исследования и применения полученных методом СВС-экструзии металлокерамических электродных материалов, интерметаллидов, материалов на основе МАХ-фазы и керамических материалов с наноразмерной структурой для нанесения защитных покрытий методом электроискрового легирования и электродуговой наплавки на металлические подложки. Проведены исследования микроструктуры и свойств формирующихся легированных и наплавленных слоев, характера взаимодействия материала подложки с СВС-электродами, выполнены сравнительные трибологические испытания упрочненных покрытий. Приведены некоторые результаты промышленных испытаний обработанных деталей.

Ключевые слова: самораспространяющийся высокотемпературный синтез (CBC), электрод, металлокерамика, электроискровое легирование, электродуговая наплавка, защитное покрытие, CBC-экструзия.

ВВЕДЕНИЕ

■ирокое распространение для защиты деталей и восстановления их после износа получили методы электроискрового легирования (ЭИЛ) и электродуговой наплавки (ЭП) [1-5]. Для получения электродных материалов по этим технологиям используют традиционные приемы порошковой металлургии: прессование и вакуумное спекание или горячее прессование. Технологии включают большое число операций, многие из которых сложны, энергоемки и длительны по времени. Пластифицирующие вещества после выполнения своих технологических функций полностью не удаляются при спекании и влияют на физико-механические свойства электродных материалов и, как следствие, на работу и долговечность инструмента и деталей машин.

Принципиально новый подход к организации технологического процесса получения электродов для ЭИЛ и ЭП открывается в связи с применением метода СВС-экструзии [5]. Метод сочетает процесс горения экзотермической смеси исходных компонентов и сдвиговое деформирование горячих продуктов синтеза. Такой способ обеспечивает синтез материала и получение изделия в одной установке и соединяет достоинства

⊠ П. М. Бажин E-mail: olimp@ism.ac.ru как экструзии (возможность получения изделий нужного профиля с минимальной последующей обработкой), так и СВС-технологий (экономичность, простота оборудования, малая продолжительность процесса, отсутствие необходимости высоких усилий при деформировании, нет энергозатрат на внешний нагрев заготовки). Изготовление электродов СВС-экструзией существенно упрощается, синтез материала и формование заготовок происходят за несколько секунд (вместо часов) в одном технологическом цикле. Подбирая соответствующим образом компоненты твердой основы, связующего и легирующих добавок, изменяя технологические параметры процесса СВС-экструзии, можно получать электродные композитные и керамические материалы с требуемым набором свойств.

Главными требованиями к электродам являются высокая однородность состава по длине и сечению электрода, равномерная и мелкозернистая структура. Ранее были подробно изучены состав, свойства (плотность, твердость, удельное электросопротивление и др.), размер зерен электродов и интервалы их изменения при фиксированных параметрах [6–8]. Полученные данные позволяют сделать вывод, что процесс СВС-экструзии хорошо воспроизводим, а состав, микроструктура и свойства электродов достаточно стабильны как по длине, так и по сечению электродов.

В данной работе обобщены результаты использования электродных материалов, полученных методом СВС-экструзии из твердосплавных металлокерамических материалов, неорганических материалов на основе МАХ-фазы и керамических оксидных материалов с наноразмерной структурой, для нанесения защитных покрытий методом ЭИЛ и ЭП на металлические подложки. Изучены микроструктуры формирующихся легированных слоев и характер взаимодействия материала подложки с СВС-электродами, проведены сравнительные трибологические испытания упрочненных покрытий и промышленные испытания обработанных деталей.

ОБЪЕКТЫ ИССЛЕДОВАНИЯ И МЕТОДЫ НАНЕСЕНИЯ ПОКРЫТИЙ

На сегодняшний день методом СВС-экструзии получено более 50 электродных материалов различных составов и функционального назначения [6]. Защитные покрытия, полученные с применением этих электродов, многофункциональны: повышают износостойкость, коррозионную стойкость, жаростойкость и жаропрочность обрабатываемых деталей [8, 9].

Наиболее распространенными и изученными объектами СВС-экструзии являются синтетические твердые инструментальные материалы (СТИМ), содержащие износостойкую составляющую (TiC, TaC, Cr₃C₂, TiB, TiB₂ и др.) и металлическую связку (Co, Ni, Fe, Ti и др.), которая улучшает физико-механические свойства материалов, а при достаточно высоких температурах (1500-3000 К) играет роль смазки, что обусловливает пластичность синтезируемого материала во время экструзии. Для СВСэлектродов марки СТИМ характерна матричная структура: хрупкие износостойкие частицы (рис. 1, темные зерна) округлого или дендритного вида, расположенные в металлической матрице (см. рис. 1, светлое пространство). Некоторые характеристики полученных СВС-электродных материалов марки СТИМ приведены в табл. 1.

Нанесение покрытий методом ЭИЛ полученными СВС-электродами проводили на установке SE-5.01, характеризующейся частотой 47–63 Гц, емкостью конденсаторной батареи 5–315 мкФ, выходным напряжением 5–110 В, частотой колебаний электромагнитного вибратора 160±10 Гц. Установка в зависимости от режимов обработки, материалов электрода и обрабатываемого изделия обеспечивает нанесение покрытий тол-

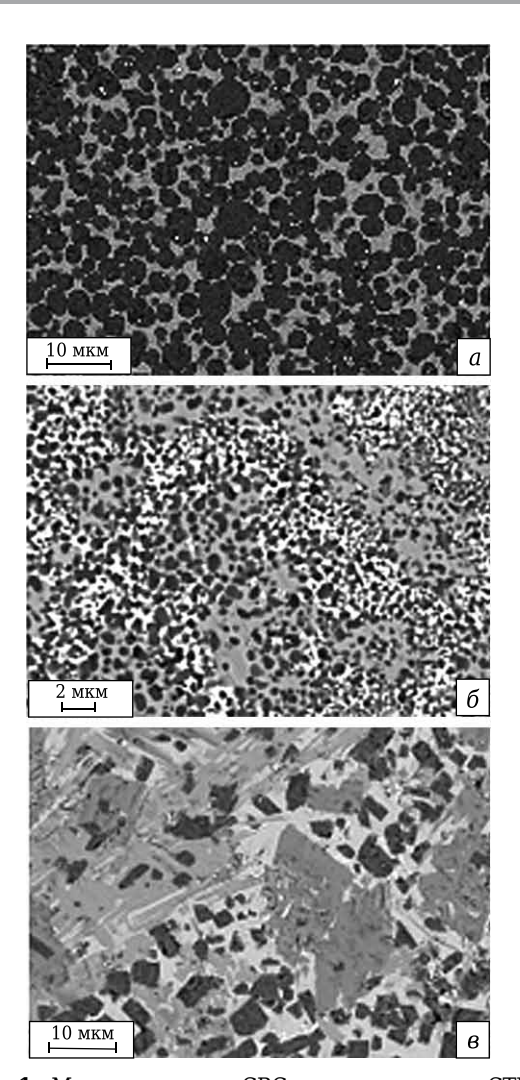


Рис. 1. Микроструктура СВС-электродов: a — СТИМ-2/30; δ — СТИМ-3/10H; ϵ — СТИМ- 4

щиной до 0,2 мм. В качестве модельной металлической подложки была выбрана сталь 45. Для проведения сравнительных трибологических лабораторных испытаний покрытий, полученных СВС-электродами, были использованы покрытия, нанесенные твердосплавными электродами марки ТК.

Электродуговую наплавку проводили на установке УДГ-251-1 в защитной атмосфере аргона при токах 60 и 80 А СВС-электродами диаметром 5 мм на подложку из Ст. 3. Наплавляли один слой при одном проходе. При токе 80 А скорость наплавки была примерно в 2 раза больше,

Таблица 1. Характеристики СВС-электродов марки СТИМ

Марка сплава	Износостойкая составляющая	Плотность, г/см ³	Средний размер зерна, мкм	Микротвердость <i>HRA</i>
СТИМ-2/20Н	TiC	5,56	5–6	80,5
СТИМ-2/30	TiC	5,80	3–3,5	79
СТИМ-3/10Н	$TiC-Cr_3C_2$	5,37	3–4	92
СТИМ-3/20Ст	$TiC-Cr_3C_2$	5,60	2–4	90
СТИМ-4	TiB_2	4,20	1–2	86
СТИМ-6Н	TiC-TiB ₂	3,67	0,04-1,5	>95

чем при токе 60 А. Морфология поверхности наплавленных слоев практически одинаковая: трещин, пор, кратеров, нагаров замечено не было.

РЕЗУЛЬТАТЫ И ИХ ОБСУЖДЕНИЕ

При исследовании микроструктуры поверхностей, легированных СВС-электродами методом ЭИЛ, было выявлено, что упрочненный слой имеет сложное строение и состоит по меньшей мере из двух зон — термического влияния на границе с подложкой и собственно покрытия, представляющего собой сплав анода и катода, материалов электрода и подложки [1, 3]. Размеры структурных износостойких составляющих на поверхности покрытия соответствуют их размерам в исходных электродах (рис. 2, а). По мере приближения к подложке размер зерен уменьшается и достигает 20-100 нм (рис. 2, б). Это можно объяснить различными скоростями теплоотвода. Подложка охлаждается интенсивнее, следовательно, интенсивнее охлаждаются структурные составляю-

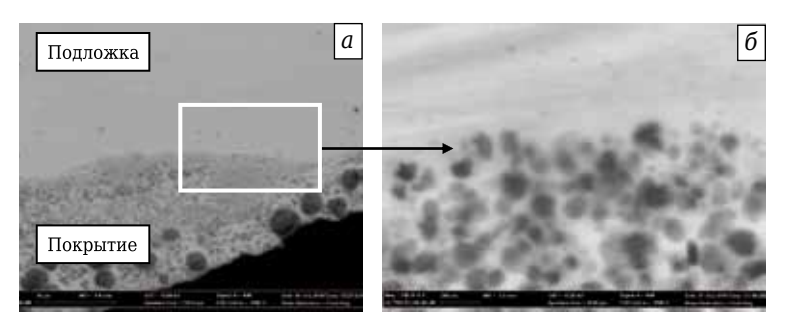


Рис. 2. Микроструктура на границе покрытие – подложка

щие покрытия. В результате зерна не успевают вырасти до крупных размеров. На поверхности под действием постоянных разрядов теплоотвод снижается, поэтому температура расплава выше и зерна вырастают до более крупных размеров (1–2 мкм). На поверхности наблюдаются также отколовшиеся с поверхности электрода зерна исходных размеров. Твердосплавные зерна равномерно расположены в металлической матрице по всему объему переходной зоны покрытие – подложка, что обусловливает увеличение адгезии материала электрода с основой.

Наличие переходного слоя, в котором видны включения материала покрытия в структуру основного материала, свидетельствует о том, что процесс ЭИЛ сопровождается не только перемешиванием компонентов электрода и металлической подложки, но и диффузионным взаимодействием их в пограничном слое. Происходит проникновение частиц материала электрода в стальную подложку на глубину 15–20 мкм (рис.

3, а, в, г). Одновременно идет обратный процесс переноса железа в материал покрытия (рис. 3, б). Таким образом, взаимная диффузия компонентов покрытия и стальной подложки обеспечивает адгезионную прочность их связи, что положительным образом влияет на работу обработанной детали или инструмента в экстремальных условиях абразивного изнашивания.

Было измерено распределение микротвердости от поверхности ле-

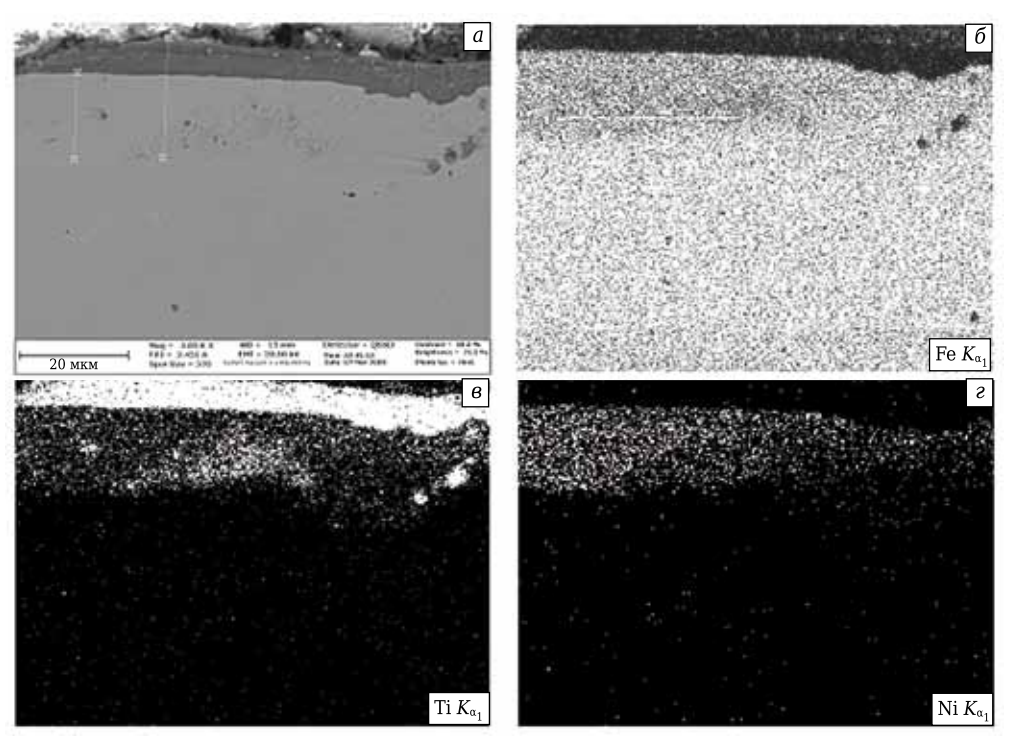


Рис. 3. Микроструктура покрытия СТИМ-2/30 на стали 45 (*a*) и распределение элементов в покрытии: δ — Fe; ϵ — Ti; ϵ — Ni

гированного слоя к сердцевине подложки при нагрузке 50 г. На рис. 4 представлен образец со следами индентора и показана зависимость микротвердости по высоте от легированного слоя к подложке. На поверхности подложки образуется слой, микротвердость которого достигает 1200 HV. Микротвердость от поверхности легированного слоя к сердцевине подложки уменьшается, что указывает на наличие переходного слоя и образование на поверхности подложки состава, примерно

идентичного материалу обрабатываемого электрода. Таким образом, обеспечивается корреляция физико-механических свойств электродного материала и покрытия. В результате микротвердость поверхности металлической основы увеличивается в 4,0–4,5 раза [10].

При ЭП микроструктура наплавленного на поверхности подложки слоя существенно отличается от микроструктуры исходного электрода. Округлые зерна карбида титана после наплавки и кристаллизации становятся вытянутыми столбчатыми дендритными зернами с максимальными размерами до 50 мкм (рис. 5), направленными в сторону отвода теплоты, что свидетельствует о высокой скорости охлаждения. В этом случае появляется возможность получения ориентированных структур, обладающих, как правило, улучшенными свойствами.

На рис. 6 показана микротвердость наплавленного слоя, измеренная по высоте наплавки при нагрузке 50 г. На поверхности наплавленный слой имеет микротвердость 650–700 кг/мм²*. При попадании индентора в зерна карбида титана значения микротвердости достигают 1020 кг/мм². По мере углубления микротвердость уменьшается и достигает микротвердости подложки, которая составляет 125–130 кг/мм². Микротвердость матрицы FeCo 450–470 кг/мм². Измеренная макротвердость поверхности *HRC* 56–58.

Поверхностный легированный слой, подвергающийся в процессе эксплуатации изнашиванию, определяет в итоге ресурс и работоспособность всего изделия, поэтому было проведено исследование кинетики износа упрочненных образцов. Для сравнительных анализов методом ЭИЛ наносили покрытия СВС-электродами и промышленными электродами марки Т15К6. Износостойкость нанесенных покрытий определяли на универсальной испытательной машине трения «Einhell SB 701» при частоте 1000 об/мин гравиметрическим методом. В качестве подложки использовали образцы

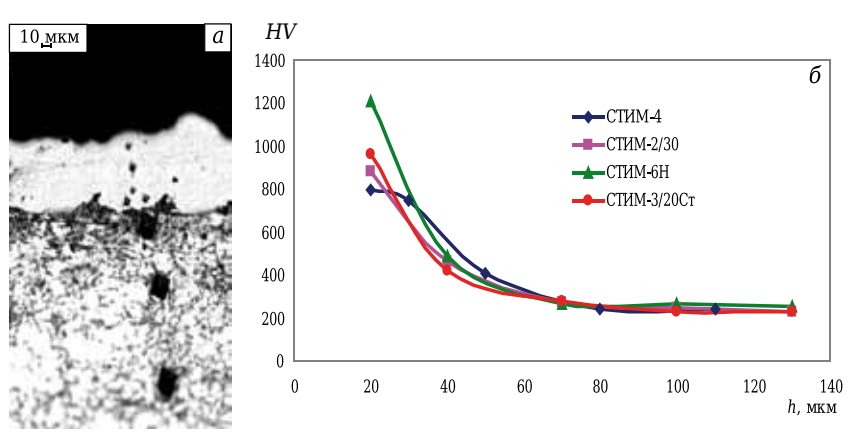


Рис. 4. Образец (a) с покрытием из СВС-электродов (видны следы индентора) и микротвердость легированных слоев по высоте h (δ)

диаметром 45 мм из стали 45. Эксперименты проводили без использования СОЖ.

На рис. 7 представлена зависимость износа покрытий от времени испытания. Более интенсивный

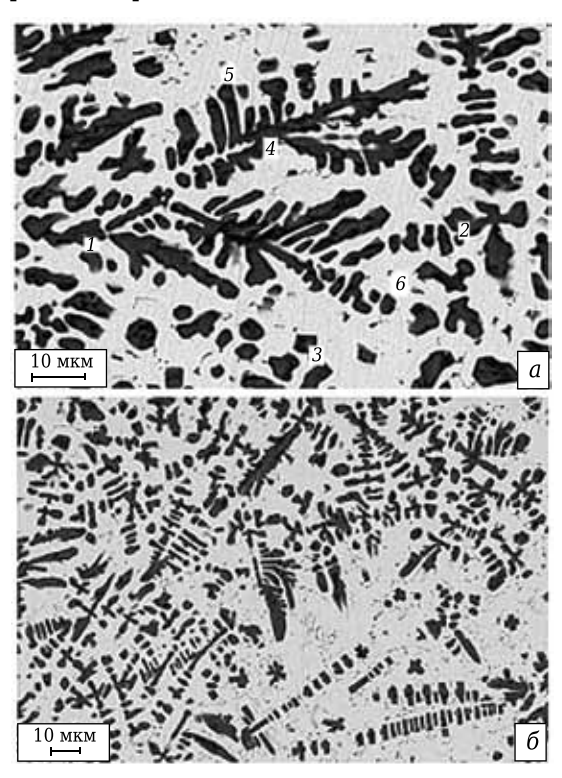


Рис. 5. Микроструктура верхнего наплавленного слоя

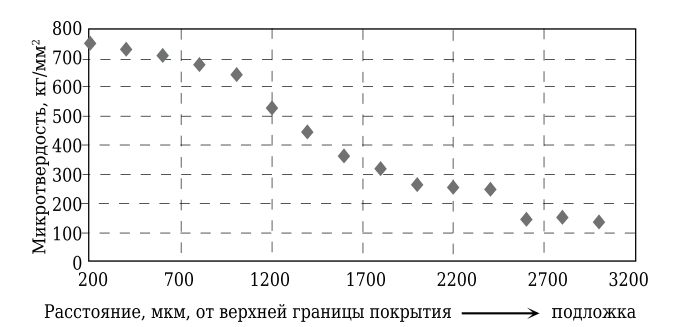


Рис. 6. Микротвердость наплавленного слоя

^{* 1} кг/мм 2 = 10 МПа.

износ имеют образцы, легированные электродами на основе карбида вольфрама Т15К6. Наименьшим износом обладают покрытия, легированные электродами марки СТИМ-2/30, их показатели износа превосходят износ промышленных аналогов в 3,5 раза. Трибологические исследования показали снижение коэффициента трения в паре покрытие – сталь. Для покрытий из СВС-электродов марки СТИМ-6Н коэффициент трения уменьшился на 25 % по сравнению с этим показателем при использовании электродов Т15К6.

Окончательную оценку работоспособности защитных покрытий дают испытания обработанных деталей и инструмента в реальных технологических условиях. Такие испытания показали увеличение ресурса работы инструмента, обработанного СВС-электродами, по сравнению с инструментом, используемым на производстве, в 10 раз (табл. 2).

В качестве примера практического использования СВС-электродов СТИМ-2/30 была проведена наплавка участков щековой дробилки в зоне действия максимальных нагрузок. Наплавку и испытания проводили на Никольском заводе ферросплавов. В результате испытаний установлено, что скорость износа наплавленного слоя в 1,7–2,0 раза ниже, чем скорость износа футеровки из стали 40X. За период испытаний в дробилке было переработано 5800 т горячего марганцевого агломерата.

В последнее время особый интерес проявляется к электродным материалам на основе интерметаллидов и МАХ-фаз. Использование таких соединений в качестве связующего в электродных материалах обусловлено двумя причинами. Вопервых, интерметаллиды и МАХ-фазы обладают такими ценными свойствами, как жаропрочность, жаростойкость, химическая стойкость и другие, которые переносятся на покрытия. Во-вторых, при синтезе интерметаллидов и МАХ-фаз в режиме горения выделяется достаточное количество тепла для получения материалов с большим содержанием связующего (до 100 %), что при использовании инертного связующего невозможно (в этом случае количество связующего <50 %). Таким образом, введение такого рода связующего в твердый сплав позволяет варьировать его состав в самом широком диапазоне (от 0 до 100 % связующего). Соответственно, будут изменяться свойства получаемых материалов — максимальные твердость и

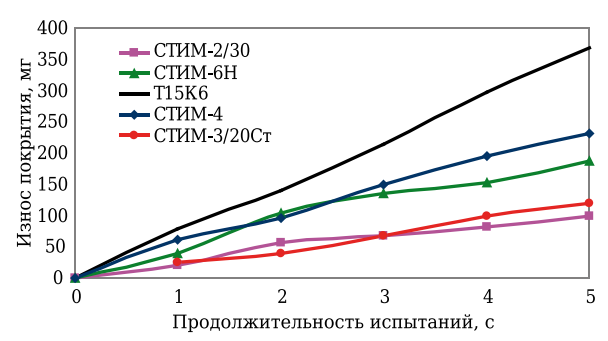


Рис. 7. Зависимость износа покрытий, легированных различными электродами, от продолжительности испытаний

износостойкость составов с малым содержанием связующего и приближение к показателям свойств чистого интерметаллида при большом его содержании в материале. Нами были получены чистые интерметаллидные соединения на основе Ni-Al [7] и материалы на основе MAX-фазы системы Ti-Al-C [11], изучены их свойства и определены перспективы применения в авиадвигателестроении. Лабораторные исследования на жаростойкость в окислительной атмосфере воздуха при 850 °C в сравнении с промышленным аналогом ЭП 741НП показали. что покрытия на основе интерметаллидов Ni-Al и материалов на основе MAX-фазы системы Ti-Al-C характеризуются приростом массы образца, что указывает на образование оксидной пленки на поверхности покрытия, предотвращающей выгорание материала. Полученные защитные покрытия обладают жаростойкостью 0,54·10⁻³ г/см² в течение 100 ч и имеют значение одного порядка с авиационным сплавом ЭП 741НП.

Для деталей, работающих в агрессивных средах, разработаны электроды на основе ТаС-ТіС-X18Н9Т с различным количественным составом твердого раствора (Та, Ті)С. Проведены исследования процесса ЭИЛ полученными СВС-электродами для определения оптимальных режимов упрочнения, а также изучены свойства самих электродов и нанесенных ими покрытий на нержавеющую сталь 12X18НТ и титановый сплав ВТ1. Было установлено, что после кипячения в азотной (74,37 %-ной) и серной (96,48 %-ной) кислотах в течение 24 ч доля нерастворенного остатка составляла не менее 89 % [6,7].

В работе [12] представлен метод СВС-экструзии для получения электродов с нанораз-

Таблица 2. Производственные испытания инструмента, обработанного СВС-электродами

Обработанный инструмент	Материал электрода	Материал инструмента	Обрабатываемый материал	Повышение стойкости, раз
Игла для волок	СТИМ-2/30	у8, у10	ВКЗМ	2–3
Сверло спиральное	СТИМ-2/30	P6M5	24Ш	1,5–2
Фреза дисковая	СТИМ-2/30	P6M5	У 8, ХВГ	3–4
Опорный нож	СТИМ-2/30	6XB2C	BK3M	8–10
Долбежный резец	СТИМ-3/20Ст	P18	Сталь 45	8–10
Нож свеклоуборочного комбайна	СТИМ-2/30	45XH	Почва	2–4

№ 8 2016 **Hobbie Ofheytopbi** ISSN 1683-4518 **35**

мерной структурой из композитной керамики, содержащей износостойкую составляющую и оксиды (без металлического связующего) из исходных порошков микронного размера. Обычно в процессах СВС для получения композитной наноструктурной керамики используют исходные ультрадисперсные порошки, применяют последующую химическую или механическую обработку до получения субмикронной структуры [13], а также разбавление шихты низкоплавким разбавителем и длительную механическую обработку [14]. При использовании метода СВС-экструзии образование наноразмерных составляющих происходит вследствие сочетания процесса горения экзотермической смеси исходных компонентов со сдвиговым пластическим деформированием. Такое сочетание вносит ряд совершенно новых особенностей в процесс структурообразования

Библиографический список

- 1. **Иванов, В. И.** Электроискровые технологии в АПК / В. И. Иванов // Сельский механизатор. 2015. № 4. С. 36, 37.
- 2. **Мосина, Т. В.** Электроискровое легирование композиционного материала систем TiN-AlN и TiN-AlN-(Ni-Cr) как метод нанесения износостойких покрытий / Т. В. Мосина // Новые огнеупоры. 2013. № 9. С. 61-64.
- **Mosina, T. V.** Electric-spark alloying of composite material of the systems TiN-AlN and TiN-AlN-(Ni-Cr) as a method for applying wear-resistant coatings / T. V. Mosina // Refractories and industrial ceramics. 2014. Vol. 54, № 5. P. 384–387.
- 3. **Konoval, V. P.** Formation of electric-spark coatings from composite materials based on titanium-chromium carbide and diboride / V. P. Konoval, O. P. Umans'kyi, A. D. Panasyuk [et al.] // J. Superhard Materials. Vol. 31, N_2 4. P. 274–280.
- 4. *Li, Ke.* Arc characteristics of submerged arc welding with stainless steel wire / *Ke Li, Zhisheng Wu, Cui-rong Liu* [et al.] // Inter. J. Metallurgy and Materials. 2014. Vol. 21, N = 8. P. 772–778.
- 5. *Kudryashov, A. E.* Use of electric spark alloying technology and promising nanostructured electrode materials for improving the life of punching equipment / A. E. *Kudryashov, E. A. Levashov, L. B. Aksenov, V. M. Petrov //* Metallurgist. 2010. Vol. 54, № 7/8. P. 514–522.
- 6. Столин, А. М. Получение изделий многофункционального назначения из композитных и керамических материалов в режиме горения и высокотемпературного деформирования (СВС-экструзия) / А. М. Столин, П. М. Бажин // Теоретические основы химической технологии. 2014. Т. 48, № 6. С. 1–13.
- **Stolin, A. M.** Manufacture of multipurpose composite and ceramic materials in the combustion regime and high-temperature deformation (SHS Extrusion) / A. M. Stolin, P. M. Bazhin // Theoretical Foundations of Chemical Engineering. 2014. Vol. 48, № 6. P. 751–763.
- 7. **Stolin, A. M.** SHS extrusion: an overview / A. M. Stolin, P. M. Bazhin // Inter. J. Self-Propagating High-

материалов. Защитные покрытия, полученные из этих электродных материалов, увеличивают износостойкость обработанных деталей в 10 раз, а также снижают коэффициент трения в паре покрытие – сталь на 25 %.

ЗАКЛЮЧЕНИЕ

Проведенные исследования выявили перспективность использования металлокерамических СВС-электродных материалов и нанесенных с их помощью покрытий для успешного применения методов электроискрового легирования и электродуговой наплавки на различных предприятиях огнеупорной промышленности для повышения износостойкости режущего и штампового инструмента из углеродистых, легированных, быстрорежущих сталей, работающих в экстремальных условиях и при повышенных температурах.

Temperature Synthesis. — 2014. — Vol. 23, \mathbb{N} 2. — P. 65–73.

8. **Пантелеенко, Ф. И.** Создание композиционных покрытий на основе карбида титана электроискровым легированием / Ф. И. Пантелеенко, В. В. Саранцев, А. М. Столин [и др.] // Электронная обработка металлов. — 2011. — № 4. — С. 106–115.

Panteleenko, F. I. Formation of composite coatings based on titanium carbide via electrospark alloying / F. I. Panteleenko, V. V. Sarantsev, A. M. Stolin [et al.] // Surf. Eng. Appl. Electrochem. — 2011. — Vol. 47, \mathbb{N} 4. — P. 328.

- 9. **Бажин, П. М.** Получение методом СВС-экструзии электродов для электроискрового легирования. Свойства и перспективы применения / П. М. Бажин, А. М. Столин // Тр. ГОСНИТИ. 2010. Т. 106. С. 125–127. 10. Столин, А. М. Новые износо- и коррозионностойкие электродные материалы для электроискрового легирования, полученные методом СВС-экструзии / А. М. Столин, А. Г. Мержанов // Техника машиностроения. 2003. № 1. С. 15–29.
- 11. **Бажин, П. М.** СВС-экструзия материалов на основе MAX-фазы Ti–Al–C / П. М. Бажин, А. М. Столин // ДАН. 2011. Т. 439, № 5. С. 630–632.
- 12. **Столин, А. М.** Получение наноструктурных композиционных керамических материалов и изделий в условиях сочетания процессов горения и высокотемпературного деформирования (СВС-экструзия) / А. М. Столин, П. М. Бажин, М. И. Алымов // Российские нанотехнологии. 2014. Т. 9, № 9/10. С. 1–13.
- 13. **Боровинская, И. П.** СВС ультра- и нанодисперсных порошков карбида титана и карбида вольфрама / И. П. Боровинская, Т. И. Игнатьева, В. И. Вершинников [и др.] // Порошковая металлургия. 2008. № 9/10. С. 3–12.
- 14. **Мержанов, А. Г.** Процессы горения и синтез материалов / А. Г. Мержанов; под ред. В. Т. Телепы, А. В. Хачояна. Черноголовка: ИСМАН, 1998. 512 с. ■

Получено 29.02.16 © П. М. Бажин, А. М. Столин, А. П. Чижиков, М. И. Алымов, Д. В. Кузнецов, 2016 г.